



ISSN: 2658–5782

Номер 2

2025

# МНОГОФАЗНЫЕ СИСТЕМЫ

[mfs.uimech.org](https://mfs.uimech.org)





## Анализ многофазной модели течения газовой смеси через слой микросфер в условиях селективного отбора компонентов

А.С. Верещагин , И.В. Казанин, В.Н. Зиновьев, В.М. Фомин

Институт теоретической и прикладной механики им. С.А. Христиановича СО РАН, Новосибирск

E-mail: [vereshchag@itam.nsc.ru](mailto:vereshchag@itam.nsc.ru)

Приводится математическая односкоростная, однотемпературная модель нестационарного течения смеси газов через пористую среду из микросфер, имеющих дисперсное распределение по физическим и геометрическим параметрам. Для системы квазилинейных уравнений в частных производных, описывающих модель, доказывается её гиперболичность и приводится оценка для собственных значений. Выводятся и описываются безразмерные критерии, отвечающие за течение газовой смеси по покоящемуся слою из микросфер в условиях селективной газовой проницаемости. Выводится аналитическое решение стационарной одномерной задачи течения бинарной смеси и приводятся результаты численного эксперимента двух задач в рамках проблемы разделения газовых смесей в нестационарном режиме.

**Ключевые слова:** гелий, микросферы, природный газ, мембраны, извлечение

Работа выполнена при финансовой поддержке Российского научного фонда и Правительства Новосибирской области (код проекта 23-29-100068).

## Analysis of a multiphase model of gas mixture flow through a layer of microspheres under conditions of selective extraction of components

A.S. Vereshchagin , I.V. Kazanin, V.N. Zinovyev, V.M. Fomin

Khristianovich Institute of Theoretical and Applied Mechanics SB RAS, Novosibirsk

E-mail: [vereshchag@itam.nsc.ru](mailto:vereshchag@itam.nsc.ru)

A mathematical single-speed, single-temperature model of non-stationary gas mixture flow through a porous medium of microspheres with a dispersed distribution by physical and geometric parameters is presented. For a system of quasi-linear partial differential equations describing the model, its hyperbolicity is proved and an estimate for the eigenvalues is given. Dimensionless criteria responsible for the gas mixture flow through a stationary layer of microspheres under conditions of selective gas permeability are derived and described. An analytical solution to the stationary one-dimensional problem of binary mixture flow is derived, and the results of a numerical experiment of two problems are presented within the framework of the problem of gas mixture separation in a non-stationary mode.

**Keywords:** helium, microspheres, natural gas, membranes, extraction

### 1. Введение

Российский потенциал по добыче гелия сосредоточен на территории Восточной Сибири и Дальнего Востока, где открыто более 30 гелийсодержащих газовых месторождений с высоким содержанием гелия (0,2–0,8 %) [1]. Специалисты Института нефтегазовой геологии и геофизики СО РАН считают, что гелий, получаемый из месторождений природного газа Восточной Сибири и Дальнего Востока, может закрыть до 45 % его мирового спроса. Однако эти месторождения пока

еще достаточно плохо освоены. При этом предполагается, что основными потребителями гелия будут страны Азиатско-Тихоокеанского региона.

В настоящее время производство гелия в РФ сосредоточено на Оренбургском гелиевом заводе (ПАО «Газпром»), которое в ближайшем будущем будет перераспределено на Амурский газоперерабатывающий завод ПАО «Газпром». Ресурсной базой для Амурского ГПЗ будет в основном природный газ Чаяндинского и Ковытинского месторождений, поступающий по газопроводу «Сила Сибири». Дополнительно к Амурскому ГПЗ нахо-

дится в режиме опытного применения гелиевый завод на Ярактинском нефтегазоконденсатном месторождении. Однако, большинство средних и, особенно, малых месторождений Восточной Сибири и Дальнего Востока продолжают вести добычу природного газа без выделения из него гелия как отдельного товарного продукта. Если не принять мер по созданию системы сбора, транспортировки и хранения гелия, то в течение следующих 20 лет общие потери гелия могут достигнуть 1 млрд. м<sup>3</sup>.

Предлагаемый авторами мембранно-сорбционный метод выделения гелия из газовых смесей в своей основе опирается на избирательную проницаемость полых стеклянных микросфер по отношению к легким и инертным газам [2]. Для описания газовой проницаемости микросфер используется феноменологическая модель, подразумевающая диффузию целевого газа сквозь материал стенки, вызванную градиентом его концентрации. Такой подход приводит к описанию поглощения газов микросферами аналогично классическому подходу, используемому для мембран. В отличие от мембран для засыпки из микросфер точно неизвестна площадь рабочей поверхности, толщина стенки микросфер, коэффициент проницаемости стенки микросфер и давление на одной из рабочих поверхностей. Все эти параметры необходимо определять экспериментально по падению давления в ёмкости с микросферами, связанного с поглощением ими того или иного компонента. Также стоит отметить то обстоятельство, что засыпка микросфер неоднородна по физическим и геометрическим параметрам, а коэффициент проницаемости существенно зависит от температуры, что усложняет процесс моделирования.

В предыдущих работах, используя подходы, изложенные в [3, 4], была разработана математическая модель течения парогелиевой смеси газов через адсорбер, заполненный гранулами композитного адсорбента на основе микросфер [5]. Для описания процесса течения воздушно-гелиевой смеси через пористый слой из гранулированного сорбента используется сопряжённая математическая модель, состоящая из конвективной и диффузионной частей. Конвективная часть — это классическая модель многофазной среды, описываемая уравнениями законов сохранения массы импульса и энергии для смеси газов и гранулированной неподвижной среды. Диффузионная часть модели описывает массоперенос газов в цилиндрической частице адсорбента с учётом поглощения гелия микросферами, которые в ней содержатся.

В настоящей работе предлагается провести анализ модели течения бинарной смеси газов по адсорберу, заполненному неподвижным слоем микросфер, в котором конвективная составляющая будет такой же, как и в предыдущей работе, а правые части, отвечающие за обмен массой, импульсом и энергией между фазами, будут учитывать неравномерность распределения микросфер по геометрическим и физическим параметрам [6, 7]. Суть учёта неравномерности заключается в разделении микросфер по группам, внутри которых скорость поглощения газов одинаковая.

## 2. Математическая модель течения смеси газов в покоящемся слое микросфер с учетом их селективного поглощения

### 2.1. Уравнения в дивергентном виде

На основе задела [5, 7, 8] разработана математическая модель течения смеси газов через покоящийся слой из микросфер с учётом селективного поглощения различных газов из смеси в условиях дисперсного распределения микросфер по параметрам.

Течение  $N$ -компонентной смеси газов через слой микросфер с учётом их селективного поглощения описывается следующей системой квазилинейных дифференциальных уравнений

$$\frac{\partial U}{\partial t} + \frac{\partial W}{\partial x} = G, \tag{1}$$

$$U = \begin{pmatrix} \rho_{11} \\ \dots \\ \rho_{1N} \\ \rho_1 v \\ U_1 + U_2 + E_{k1} \end{pmatrix},$$

$$W = \begin{pmatrix} \rho_{11} v \\ \dots \\ \rho_{1N} v \\ \rho_1 v^2 + p_1 \\ (U_1 + E_{k1} + p_1) v \end{pmatrix},$$

$$G = \begin{pmatrix} -K_1 \\ \dots \\ -K_N \\ f_1 - v \sum_{i=1}^N K_i \\ f_1 v \end{pmatrix},$$

где

$$f_1 = -\alpha_{pr} \mu(\rho_{1i}, T) m_1 v / k - \alpha_{pr}^2 \beta \rho_1 v^2 / \sqrt{k},$$

$$p_{1j} = \sum_{i=1}^N \rho_{1i} R_i T, \quad \rho_1 = \sum_{i=1}^N \rho_{1i}, \quad p_1 = \sum_{i=1}^N p_{1i},$$

$$U_1 = \sum_{i=1}^N \rho_{1i} C_{Vi} T, \quad E_k = \frac{\rho_1 v^2}{2},$$

$$U_2 = \left( \sum_{i=1}^N \sum_{j=1}^M \rho_{2i}^j C_{Vi} + m_2 \rho_{30} C_S \right) T,$$

$\rho_{1i}$  — плотность  $i$ -й компоненты газовой смеси ( $i = 1, \dots, N$ );  $v$  — скорость потока;  $f_1$  — сила сопротивления, соответствующая закону фильтрации Форхгеймера;  $U_1, E_k$  — внутренняя и кинетическая энергия газовой смеси;  $U_2$  — внутренняя энергия гранул с содержащимися в них газами;  $p_{1i}$  — давление  $i$ -го газа ( $i = 1, \dots, N$ );  $T$  — температура;  $k, \beta$  — коэффициенты проницаемости пористого слоя в модели Форхгеймера;  $m_1, m_2$  — пористость и объемная концентрация микросфер в адсорбере;  $\mu(\rho_{1j}, T)$  — вязкость смеси газов ( $j = 1, \dots, N$ );  $\alpha_{pr}$  — величина просвета пористого слоя;  $C_{Vi}$  — удельная теплоемкость компоненты газовой смеси при постоянном

объеме ( $i = 1, \dots, N$ );  $\rho_{30}$  — плотность стекла, из которого изготовлены микросферы;  $C_5$  — удельные теплоемкость стекла;  $R_i$  — индивидуальная газовая постоянные компоненты смеси ( $i = 1, \dots, i$ );  $L$  — длина адсорбера.

Система уравнений (1) представляет собой дифференциальную форму законов сохранения массы, импульса и энергии при течении газовой смеси через слой микросфер, в котором сопротивление среды учитывается в виде закона фильтрации Форхгеймера (выражение для  $f_1$ ), а учёт перетока массы между фазами происходит с помощью массовых потоков  $K_i$  ( $i = 1, \dots, N$ ). В то же время  $K_i$  состоят из суммы  $M$  слагаемых —  $M$  групп для учёта дисперсности распределения микросфер по параметрам.

В соответствии с [6] дополнительно к этой системе уравнений добавляются  $N \times M$  уравнений для массовых потоков  $K_i^j$ , учитывающих поглощение  $i$ -го газа  $j$ -й группой микросфер:

$$\frac{\partial \rho_{2i}^j}{\partial t} = K_i^j \quad (i = 1, \dots, N, j = 1, \dots, M), \quad (2)$$

$$K_i^j = \beta_{ij}(T)(\alpha_{ij}\rho_{1i} - \rho_{2i}^j),$$

где  $\rho_{2i}^j$  — плотность  $i$ -го газа, отвечающая  $j$ -ой группе;  $M$  — количество групп, на которые разбивается сорбционный объем;  $N$  — количество газовых компонент в смеси;  $\beta_{ij} = \beta_{ij}(T)$  — коэффициент проницаемости  $j$ -ой группой микросфер  $i$ -ой компоненты газовой смеси;  $\alpha_i^j$  — удельный сорбционный объем  $j$ -ой группой микросфер для  $i$ -ой компоненты газовой смеси. При этом

$$K_i = \sum_{j=1}^M K_i^j \quad (i = 1, \dots, N).$$

Коэффициент проницаемости  $\beta_{ij}$  в данной модели является величиной обратной к характерному времени сорбции для данного газа по отношению к выбранной группе микросфер и фактически является основополагающей величиной при определении скорости поглощения того или иного компонента газа. Удельные сорбционные объемы  $\alpha_{ij}$  отвечают за максимальное количество газа, которое может адсорбироваться в выбранную группу микросфер в равновесном состоянии системы.

## 2.2. Уравнения в недивергентном виде для бинарной смеси

Для частного случая бинарной смеси ( $N = 2$ ) математическая модель (1)–(2) была преобразована к недивергентному виду:

$$u_t + A(u)u_x = f(u), \quad (3)$$

$$u = \begin{pmatrix} \rho_{11} \\ \rho_{12} \\ v \\ T \end{pmatrix}, \quad A(u) = \begin{pmatrix} v & 0 & \rho_{11} & 0 \\ 0 & v & \rho_{12} & 0 \\ \frac{R_1 T}{\rho_1} & \frac{R_2 T}{\rho_1} & v & B_R / \rho_1 \\ 0 & 0 & \frac{p_1}{B_V} & \frac{B_{1V}}{B_V} v \end{pmatrix},$$

$$f(u) = \begin{pmatrix} -K_1 \\ -K_2 \\ f_1 / \rho_1 \\ \frac{(C_{V1}K_1 + C_{V2}K_2)T + \frac{Kv^2}{2}}{B_V} \end{pmatrix},$$

где

$$B_R = \rho_{11}R_1 + \rho_{12}R_2, \quad B_{1V} = \rho_{11}C_{V1} + \rho_{12}C_{V2},$$

$$B_V = C_{V1}(\rho_{11} + \rho_{21}) + C_{V2}(\rho_{12} + \rho_{22}) + C_{S3}\rho_{30}m_{22},$$

$$\rho_1 = \rho_{11} + \rho_{12}, \quad p_1 = \rho_{11}R_1T + \rho_{12}R_2T,$$

$$f_1 = -\alpha_{pr}\mu(\rho_{11}, \rho_{12}, T)m_1v/k - \alpha_{pr}^2\beta\rho_1v^2/\sqrt{k}.$$

Соотношения, описывающие влияние температуры на коэффициент вязкости  $\mu_i(T)$ , имеют вид [9]:

$$\mu_i(T) = \mu_i^0 \frac{T_{ref} + C_i}{T + C_i} \left( \frac{T}{T_{ref}} \right)^{3/2}, \quad (4)$$

где  $C_i, \mu_i^0$  — константа Сазерленда и вязкость гелия и воздуха при температуре  $T_{ref}$  ( $i = 1, 2$ ).

Для определения вязкости бинарной газовой смеси использовались формулы Вилке [10]:

$$\mu(\rho_{11}, \rho_{12}, T) = \sum_{i=1}^2 \frac{n_i(\rho_{11}, \rho_{12})}{\sum_{j=1}^2 n_j(\rho_{11}, \rho_{12})\Phi_{ij}(T)} \mu_i(T).$$

Здесь

$$\Phi_{ij}(T) = \frac{\left[ 1 + \left( \frac{\mu_i(T)}{\mu_j(T)} \right)^{1/2} \cdot \left( \frac{M_j}{M_i} \right)^{1/4} \right]^2}{\frac{4}{\sqrt{2}} \cdot \left( 1 + \frac{M_i}{M_j} \right)^{1/2}}, \quad i, j = 1, 2,$$

$$n_i(\rho_{11}, \rho_{12}) = \frac{\rho_{1i}/M_i}{\sum_{j=1}^2 \rho_{1j}/M_j}, \quad i = 1, 2,$$

где  $n_i(\rho_{11}, \rho_{12})$  — молярная концентрация компонентов смеси ( $i = 1, 2$ );  $\Phi_{ij}(T)$  — вспомогательные функции ( $i, j = 1, 2$ );  $M_1, M_2$  — молярные массы газов.

Уравнения дополняются уравнениями селективного поглощения газов микросферами:

$$\frac{\partial \rho_{2i,j}}{\partial t} = K_i^j, \quad (5)$$

где

$$K_i^j = \beta_{ij}(T)(\alpha_{ij}\rho_{1i} - \rho_{2i}^j), \quad K_i = \sum_{j=1}^M K_i^j \\ (i = 1, 2, \quad j = 1, \dots, M).$$

где  $M$  — количество групп микросфер.

Зависимость  $\beta_{ij}$  от температуры подчиняется закону Аррениуса [11] вида:

$$\beta_{ij} = \beta_{0,ij} Te^{-\frac{E_{a,ij}}{R_g T}} \quad (i = 1, 2, \quad j = 1, \dots, M).$$

**2.3. Характеристические числа дифференциальных уравнений в модели закона течения смеси газов**

В работе [5] показано, что в области развитого течения ( $v \neq 0$ ) у матрицы  $A(u)$  всегда существует четыре различных действительных собственных значения  $\lambda_i(u)$  ( $i = 1, \dots, 4$ ).

В случае  $v > 0$  они будут удовлетворять условию

$$\lambda_1 < \frac{B_{1V}}{B_V} v < \lambda_2 < \lambda_3 = v < \lambda_4.$$

При этом  $\lambda_1 \leq 0$  при  $v \leq c$ , и  $\lambda_1 > 0$  при  $v > c$ , где  $c$  — скорость звука бинарной смеси.

Показано, что при  $v < 0$  они будут удовлетворять условию

$$\lambda_4 < \lambda_3 = v < \lambda_2 < \frac{B_{1V}}{B_V} v < \lambda_1.$$

При этом  $\lambda_1 \leq 0$  при  $v \leq -c$ , и  $\lambda_1 > 0$  при  $v > c$ .

Таким образом, можно сделать вывод о том, что система квазилинейных уравнений (3) с матрицей  $A(u)$  имеет гиперболический тип.

**3. Безразмерные критерии для описания процесса течения бинарной смеси по покоящемуся слою микросфер**

**3.1. Характерные параметры течения и дополнительные соотношения**

Введем безразмерные характеристики течения (со штрихами), используя следующие соотношения:

$$\begin{aligned} \rho_{11} &= \rho_0 \rho'_{11}, & \rho_{12} &= \rho_0 \rho'_{12}, \\ \rho_{21,j} &= \rho_0 \rho'_{21,j}, & \rho_{22,j} &= \rho_0 \rho'_{22,j} \quad (j = 1, \dots, M), \\ v &= v_0 v', & T &= T_0 T', \\ x &= Lx', & t &= \tau t', \end{aligned} \quad (6)$$

где  $\rho_0$  — характерная плотность;  $v_0$  — характерная скорость;  $L$  — длина адсорбера;  $T_0$  — характерная температура в адсорбере;  $\tau$  — характерное время процесса.

С учётом введенных обозначений можно следующим образом провести обезразмеривание дополнительных соотношений для бинарной смеси (3).

Безразмерная плотность

$$\rho_1 = \rho_0 (\rho'_{11} + \rho'_{12}). \quad (7)$$

Безразмерное давление

$$p_1 = p_0 p'_1 \left( \frac{R_2}{R_1}, \rho'_{11}, \rho'_{12}, T' \right), \quad (8)$$

где

$$p_0 = \rho_0 R_1 T_0, \quad p'_1(A', \rho'_{11}, \rho'_{12}, T') = \rho'_{11} T' + \rho'_{12} A' T'.$$

Безразмерные коэффициенты проницаемости микросферы

$$\beta_{ij}(T) = \beta_{ij}^0 \beta' \left( \frac{E_{a,i}}{R_g T_0}, T' \right), \quad (9)$$

$$(i = 1, 2, \quad j = 1, \dots, M).$$

где  $\beta_{ij}^0 = \beta_{0,ij} T_0$ ,  $\beta'(A', T') = T' e^{-A'/T'}$ .

Безразмерная динамическая вязкость компоненты газовой смеси

$$\mu_i = \mu_i^0(T_0) \mu'_s \left( \frac{C_i}{T_0}, T' \right) \quad (i = 1, 2), \quad (10)$$

где

$$\mu_i^0(T_0) = \mu_i^{ref} \frac{T_{ref} + C_i}{T_0} \left( \frac{T_0}{T_{ref}} \right)^{3/2},$$

$$\mu'_s(B', T') = \frac{T'^{3/2}}{T' + B'}.$$

Безразмерная динамическая вязкость газовой смеси

$$\mu(\rho_{1l}, T) = \mu_0(T_0) \mu' \left( \frac{\mu_i^0}{\mu_j^0}, \frac{C_k}{T_0}, \frac{M_p}{M_r}, \rho'_{1s}, T' \right) \quad (11)$$

$$(i, j, k, l, p, r, s = 1, 2),$$

где

$$\mu_0(T_0) = \mu_1^0(T_0),$$

$$\mu' \left( X'_{ij}, Y'_{k'}, Z'_{pr}, W'_{s'}, T' \right) =$$

$$= \sum_{i=1}^2 \frac{n_i(Z'_{pr}, W'_{s'}) X'_{i1} \mu'_s(Y'_{i'}, T')}{\sum_{j=1}^2 n_j(Z'_{pr}, W'_{s'}) \Phi_{ij} \left( X'_{ij}, Y'_{i'}, Y'_{j'}, Z'_{ij}, T' \right)}$$

$$\Phi_{ij}(A', B', C', D', T') =$$

$$\left[ 1 + \left( A' \cdot \frac{\mu'_s(B', T')}{\mu'_s(C', T')} \right)^{1/2} \cdot D'^{-1/4} \right]^2$$

$$\frac{4}{\sqrt{2}} \cdot (1 + D')^{1/2}$$

$$n_i(U'_s, V'_{pr}) = \frac{U'_i}{\sum_{k=1}^2 U'_k V'_{ki}}.$$

Для потенциальной энергии справедливы следующие соотношения

$$\begin{aligned} U_1 &= (C_{V1} \rho_{11} + C_{V2} \rho_{12}) T = (C_{V1} \rho_0 \rho'_{11} + \\ &+ C_{V2} \rho_0 \rho'_{12}) T_0 T' = U_0 U'_1 \left( \frac{C_{V2}}{C_{V1}}, \rho'_{11}, \rho'_{12} \right), \end{aligned}$$

где

$$U_0 = C_{V1}^1 \rho_0 T_0, \quad U'_1(A', \rho'_{11}, \rho'_{12}) = (\rho'_{11} + A' \rho'_{12}) T',$$

$$U_2 = (C_{V1} \rho_{21} + C_{V2} \rho_{22} + \rho_{30} m_{22} C_{3S}) T =$$

$$= (C_{V1} \rho_0 \rho'_{21} + C_{V2} \rho_0 \rho'_{22} + \rho_{30} m_{22} C_{3S}) T_0 T' =$$

$$= U_0 U'_2 \left( \frac{C_{V2}}{C_{V1}}, \frac{C_{3S}}{C_{V1}}, m_{22}, \frac{\rho_{30}}{\rho_0}, \rho'_{21}, \rho'_{22} \right),$$

где

$$U'_2(A', B', C', D', \rho'_{21}, \rho'_{22}) = (\rho'_{21} + A' \rho'_{22} + B' C' D') T'.$$

Тогда

$$U = U_1 + U_2 = U_0 U' \left( \frac{C_{V2}}{C_{V1}}, \frac{C_{3S}}{C_{V1}}, m_{22}, \frac{\rho_{30}}{\rho_0}, \rho'_{21}, \rho'_{22} \right),$$

где

$$U'(A', B', C', D', \rho'_{21}, \rho'_{22}) = (\rho'_{11} + \rho'_{21} + A'(\rho'_{12} + \rho'_{22}) + B'C'D') T'.$$

Выпишем систему уравнений для бинарной смеси (3) в безразмерном виде.

### 3.2. Основные уравнения в безразмерном виде

Законы сохранения массы для каждого газа

$$\frac{L}{v_0 \tau} \frac{\partial \rho'_{11}}{\partial t'} + \frac{\partial \rho'_{11} v'}{\partial x'} = -\frac{L}{\rho_0 v_0} K_1, \quad (12)$$

$$\frac{L}{v_0 \tau} \frac{\partial \rho'_{12}}{\partial t'} + \frac{\partial \rho'_{12} v'}{\partial x'} = -\frac{L}{\rho_0 v_0} K_2, \quad (13)$$

Рассмотрим правые части

$$\begin{aligned} -\frac{L}{\rho_0 v_0} K_i &= -\frac{L}{\rho_0 v_0} \sum_{j=1}^M \beta_{ij} (\alpha_{ij} \rho'_{1i} - \rho'_{2i}) = \\ &= -\sum_{j=1}^M \frac{L \beta_{ij}^0}{v_0} \beta' \left( \frac{E_{a,i}}{R_g T_0} \right) (\alpha_{ij} \rho'_{1i} - \rho'_{2i}) = \\ &= -\frac{L \beta_i^0}{v_0} \sum_{j=1}^M \frac{L \beta_{ij}}{v_0} \beta' \left( \frac{E_{a,i}}{R_g T_0} \right) (\alpha_{ij} \rho'_{1i} - \rho'_{2i}) \quad i = 1, 2. \end{aligned}$$

Закон сохранения импульса для смеси

$$\begin{aligned} \frac{L}{v_0 \tau} \frac{\partial v'}{\partial t'} + \frac{p_0}{\rho_0 v_0^2} \frac{T'}{\rho'_1} \frac{\partial \rho'_{11}}{\partial x'} + \frac{p_0}{\rho_0 v_0^2} \frac{R_2 T'}{R_1 \rho'_1} \frac{\partial \rho'_{12}}{\partial x'} + v' \frac{\partial v'}{\partial x'} + \\ + \frac{p_0}{\rho_0 v_0^2} \frac{p'_1 \left( \frac{R_2}{R_1} \right)}{\rho'_1 T'} \frac{\partial T}{\partial x} = \frac{L}{v_0^2} \frac{f_1}{\rho'_1}, \end{aligned}$$

Рассмотрим правую часть

$$\frac{L}{v_0^2} \frac{f_1}{\rho'_1} = -m_1 \frac{\alpha_{pr} \mu_0(T_0) L}{\rho_0 v_0 k} \frac{\mu' \left( \frac{\mu_i^0}{\mu_j^0}, \frac{C_k}{T_0}, \frac{M_p}{M_r} \right) v'}{\rho'_1} - \frac{\alpha_{pr}^2 \beta L}{\sqrt{k}} v'^2.$$

Закон сохранения энергии для смеси

$$\begin{aligned} \frac{L}{v_0 \tau} \frac{\partial T'}{\partial t'} + \frac{R_1}{C_{V1}} \frac{p'_1 \left( \frac{R_2}{R_1} \right) T'}{U' \left( \frac{C_{V2}}{C_{V1}}, \frac{C_{S3}}{C_{S1}}, m_{22}, \frac{\rho_{30}}{\rho_0} \right)} \frac{\partial v'}{\partial x'} + \\ v' \frac{U'_1 \left( \frac{C_{V2}}{C_{V1}} \right)}{U' \left( \frac{C_{V2}}{C_{V1}}, \frac{C_{S3}}{C_{S1}}, m_{22}, \frac{\rho_{30}}{\rho_0} \right)} \frac{\partial T'}{\partial x'} = \\ = \frac{L}{v_0 T_0} \frac{T}{U} \left( (C_{V1} K_1 + C_{V2} K_2) T + \frac{(K_1 + K_2) v^2}{2} \right). \end{aligned} \quad (14)$$

Рассмотрим правую часть

$$\begin{aligned} \frac{L}{v_0 T_0} \frac{T}{U} \left( (C_{V1} K_1 + C_{V2} K_2) T + \frac{(K_1 + K_2) v^2}{2} \right) = \\ = \frac{L}{v_0 U_0} \frac{T'}{U'} \left[ \rho_0 C_{V1} T_0 \left( \sum_{j=1}^M \beta_{1j} (\alpha_{1j} \rho'_{11} - \rho'_{21}) + \right. \right. \\ \left. \left. + \frac{C_{V2}}{C_{V1}} \sum_{j=1}^M \beta_{2j} (\alpha_{2j} \rho'_{12} - \rho'_{22}) \right) T' + \right. \\ \left. + \rho_0 v_0^2 \frac{\sum_{i,j} \beta_{ij} (\alpha_{ij} \rho'_{1i} - \rho'_{2i}) v'^2}{2} \right] = \\ = \frac{T'}{U' \left( \frac{C_{V2}}{C_{V1}}, \frac{C_{S3}}{C_{S1}}, m_{22}, \frac{\rho_{30}}{\rho_0} \right)} \left[ \left( \frac{L \beta_1^0}{v_0} \sum_{j=1}^M \frac{\beta_{1j}^0}{\beta_1^0} \beta' \left( \frac{E_{a,1}}{R_g T_0} \right) \times \right. \right. \\ \left. \left. \times (\alpha_{1j} \rho'_{11} - \rho'_{21}) + \frac{C_{V2}}{C_{V1}} \frac{L \beta_2^0}{v_0} \sum_{j=1}^M \frac{\beta_{2j}^0}{\beta_2^0} \beta' \left( \frac{E_{a,2}}{R_g T_0} \right) (\alpha_{2j} \rho'_{12} - \rho'_{22}) \right) T' + \right. \\ \left. + \frac{\rho_0 v_0^2 \sum_{i,j} \frac{L \beta_i^0}{v_0} \frac{\beta_{ij}^0}{\beta_i^0} \beta' \left( \frac{E_{a,i}}{R_g T_0} \right) (\alpha_{ij} \rho'_{1i} - \rho'_{2i}) v'^2}{U_0} \right]. \end{aligned}$$

Обезразмеривание уравнений (5) даёт следующее соотношение

$$\frac{\partial \rho'_{2,ij}}{\partial t'} = \tau \beta_i^0 \frac{\beta_{ij}^0}{\beta_i^0} \beta' \left( \frac{E_{a,i}}{R_g T_0} \right) (\alpha_{ij} \rho'_{1i} - \rho'_{2,ij}).$$

### 3.3. Основные безразмерные критерии

В результате проделанных операций можно выделить следующие основные безразмерные критерии, описывающие течение бинарной смеси в адсорбере с учётом селективного поглощения газов микросферами.

Структурные параметры, определяющие геометрию засыпки:

- $m_1, m_{22}$  — объёмные концентрации;
- $\alpha_{ij}$  — удельные сорбционные объёмы.

Параметры, зависящие только от физических характеристик сред:

- $\frac{R_2}{R_1} = \frac{M_1}{M_2}$  — отношение газовых постоянных;
- $\frac{R_1}{C_{V2}}$  — отношение газовой постоянной к удельной теплоемкости;
- $\frac{C_{V2}}{C_{V1}}, \frac{C_{S3}}{C_{S1}}$  — отношение удельных теплоемкостей;
- $\frac{\mu_2^0}{\mu_1^0}$  — отношение характерных вязкостей газов.

Параметры, характеризующие течение газов:

- $\frac{L}{v_0 \tau}$  — критерий Струхала;

- $\frac{p_0}{\rho_0 v_0^2} = \frac{R_1 T_0}{v_0^2}$  — критерий Эйлера;
- $\frac{\rho_{30}}{\rho_0}$  — отношение плотности твердой фазы и характерной величины плотности газовой фазы;
- $\frac{L\beta_i^0}{v_0}$  — отношение скоростей процессов конвекции и сорбции в адсорбере ( $i = 1, 2$ );
- $\tau\beta_i^0$  — отношение характерного времени процесса ко времени сорбции ( $i = 1, 2$ );
- $\frac{\beta_{ij}^0}{\beta_i^0}$  — отношение коэффициентов скорости сорбции для выбранного газа ( $i = 1, 2$ );
- $\frac{\alpha_{pr}\mu_0(T_0)L}{\rho_0 v_0 k}$  — первый безразмерный коэффициент в законе Форхгеймера;
- $\frac{\alpha_{pr}^2 \beta L}{\sqrt{k}}$  — второй безразмерный коэффициент в законе Форхгеймера;
- $\frac{E_{a,i}}{R_g T_0}$  — отношение энергии активации выбранного газа ( $i = 1, 2$ ) к характерной внутренней энергии смеси;
- $\frac{C_i}{T_0}$  — отношение числа Сазерленда к характерной температуре для выбранного газа ( $i = 1, 2$ );
- $\frac{\rho_0 v_0^2}{U_0} = \frac{v_0^2}{R_1 T_0}$  — отношение кинетической энергии к внутренней.

Полученные критерии в дальнейшем будут использованы для проведения параметрического исследования процесса разделения газовой смеси.

#### 4. Аналитическое решение для одномерного стационарного случая

Для тестирования численных решений рассмотрен стационарный одномерный частный случай исходной модели для бинарной смеси газов (3):

$$\begin{aligned} \rho_{11}v &= C_1, \\ \rho_{12}v &= C_2, \\ [\rho_1 v^2 + p_1]_x &= f_1, \\ [(U_1 + E_{k1} + p_1)v]_x &= f_1 v, \end{aligned}$$

где  $C_1, C_2$  — константы интегрирования;

$$\begin{aligned} f_1 &= -\alpha_{pr}\mu(\rho_{11}, \rho_{12}, T)m_1 v/k - \alpha_{pr}^2 \beta \rho_1 v^2 / \sqrt{k}; \\ U_1 &= (C_V^1 \rho_{11} + C_V^2 \rho_{12})T; \quad E_{k1} = \frac{\rho_1 v^2}{2}; \\ p_1 &= (\rho_{11}R_1 + \rho_{12}R_2)T. \end{aligned}$$

Тогда

$$\begin{aligned} f_1 &= -\alpha_{pr}\mu_0 m_1 v/k - \alpha_{pr}^2 \beta \rho_1 v^2 / \sqrt{k} = \\ &= -(A\mu(\rho_{11}, \rho_{12}, T) + BC)v, \end{aligned}$$

где

$$A = \alpha_{pr} m_1 / k, \quad B = \alpha_{pr}^2 \beta / \sqrt{k}, \quad C = C_1 + C_2.$$

Пусть  $D_R = C_1 R_1 + C_2 R_2, D_V = C_V^1 C_1 + C_V^2 C_2$ , тогда

$$p_1 = D_R T / v, \quad U_1 = D_V T / v, \quad E_{k1} = C v / 2.$$

Исходная модель переписывается в виде:

$$\begin{aligned} C v_x + D_R \left(\frac{T}{v}\right)_x &= -(A\mu(\rho_{11}, \rho_{12}, T) + BC)v, \\ C v v_x + (D_R + D_V)T_x &= -(A\mu(\rho_{11}, \rho_{12}, T) + BC)v^2. \end{aligned}$$

После раскрытия  $(T/v)_x = T_x/v - T v_x/v^2$  и умножения первого уравнения на  $v$  получим

$$\begin{aligned} (Cv - D_R \frac{T}{v}) v_x + D_R T_x &= -(A\mu(\rho_{11}, \rho_{12}, T) + BC)v^2, \\ C v v_x + (D_R + D_V)T_x &= -(A\mu(\rho_{11}, \rho_{12}, T) + BC)v^2. \end{aligned}$$

Вычитая из второго уравнения первое получим, что

$$D_R \frac{v_x}{v} + D_V \frac{T_x}{T} = 0,$$

или после интегрирования для некоторых констант  $C'_3$  и  $C_3$ :

$$v^{D_R} T^{D_V} = C'_3,$$

или

$$T = C_3 v^{-D_R/D_V}.$$

Тогда  $T_x = -\frac{D_R}{D_V} C_3 v^{-D_R/D_V-1} v_x$ , и последнее уравнение после сокращения на  $v^2$  переписется в виде:

$$\begin{aligned} \left[ \frac{C}{v} - (D_R + D_V) \frac{D_R}{D_V} C_3 v^{-D_R/D_V-3} \right] v_x &= \\ &= -(A\mu(\rho_{11}, \rho_{12}, T) + BC), \end{aligned} \quad (15)$$

где

$$\rho_{11} = C_1 / v, \quad \rho_{12} = C_2 / v, \quad T = C_3 v^{-D_R/D_V}. \quad (16)$$

Заморозим вязкость и рассмотрим приближение  $\mu(\rho_{11}, \rho_{12}, T) = \mu_0 = \text{const}$ . Следовательно для некоторой новой константы  $C_4$ :

$$\begin{aligned} C \ln v + \frac{D_R(D_R + D_V)}{D_R + 2D_V} C_3 v^{-D_R/D_V-2} &= \\ &= -(A\mu_0 + BC)x + C_4. \end{aligned} \quad (17)$$

Таким образом, соотношения (15), (16) и (17), (16) являются аналитическим решением в случае стационарного течения бинарной смеси через покоящийся слой микросфер с учётом силы сопротивления в форме Форхгеймера в общем случае и в случае замороженной вязкости соответственно.

## 5. Численное моделирование процесса обогащения воздушно-гелиевой смеси в нестационарном режиме

Для моделирования процесса заполнения адсорбера газовой смесью с микросферами на основании математической модели, описываемой уравнениями (1), использовалась WENO-разностная схема [12]. Численная реализация была протестирована на сходимость на различных сетках и на сходимость к полученным стационарным аналитическим решениям.

Было проведено моделирование следующих задач:

- волна концентрации распространяется по направлению течения газа (волна нагрузки), при этом микросферы будут насыщаться целевым газом, а смесь обедняться (стадия насыщения микросфер);
- волна концентрации распространяется против направления течения газа (волна разгрузки), при этом адсорбент уже насыщен целевым газом и он будет выделяться повышенными темпами на фронте волны (режим регенерации микросфер).

Для моделирования использовалась воздушная гелиевая смесь, подаваемая в адсорбер под давлением 10 атм с объемной концентрацией гелия примерно 1 %. Длина адсорбера  $L = 5$  м, температура 303 К. В качестве микросфер использовались кремнеземные микросферы с предварительно определёнными характеристиками [13].

Распространение волны концентрации гелия при заполнении адсорбера показано на рис. 1.

Длительность процесса заполнения составляла 4 с. За это время волна доходит до конца адсорбера, однако концентрация гелия в свободном объеме меньше, чем в исходном газе. Это связано с тем, что часть из него адсорбировалась микросферами (примерно 25 %).

После этого моделировался процесс откачивания газовой смеси на правой границе ( $L = 5$  м) адсорбера в вакуум при закрытой левой границе. Результат этого процесса представлен на рис. 2.

Процесс истечения гелиевой смеси из адсорбера протекает с постоянным повышением концентрации гелия в смеси от значения, которое установи-

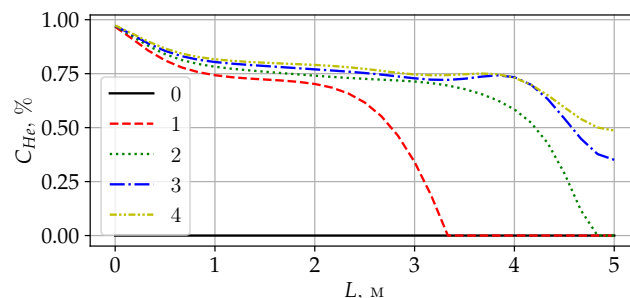


Рис. 1. Распространение волны концентрации гелия по адсорбционной колонке при её заполнении в разные моменты времени с промежутком  $\Delta t = 1$  с

лось в адсорбере в начале процесса откачивания. Представленный эксперимент показывает, что эффект увеличения концентрации наблюдается, однако необходимо проводить дальнейшее параметрическое исследование циклического процесса заполнения и откачки адсорбера для определения возможных оптимальных целевых значений процесса разделения смеси в нестационарном режиме.

## 6. Заключение

В результате на основе предварительных исследований разработана математическая модель нестационарного течения смеси газов через пористую среду из микросфер, имеющих дисперсное распределение по физическим и геометрическим параметрам. Модель является однотемпературной и односкоростной, а сопротивление модели описывается законом фильтрации Форштеймера. Показано, что система квазилинейных дифференциальных уравнений, описывающих модель, имеет гиперболический тип. Показано, что она всегда в случае развитого течения имеет различные действительные характеристические направления. Получены и описаны безразмерные критерии, отвечающие за течение газовой смеси по покоящемуся слою из микросфер в условиях селективной газовой проницаемости. Получено аналитическое решение стационарной одномерной задачи течения бинарной смеси, и проведен численный эксперимент двух задач в рамках проблемы разделения газовых смесей в нестационарном режиме.

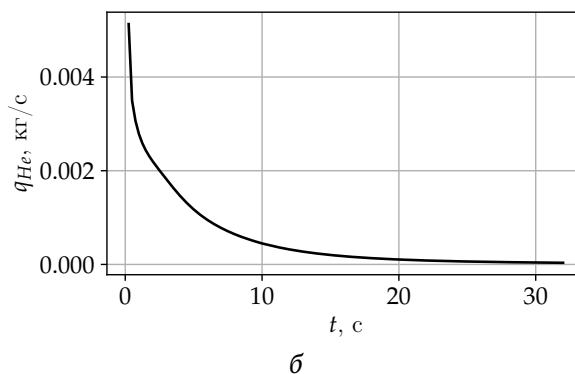
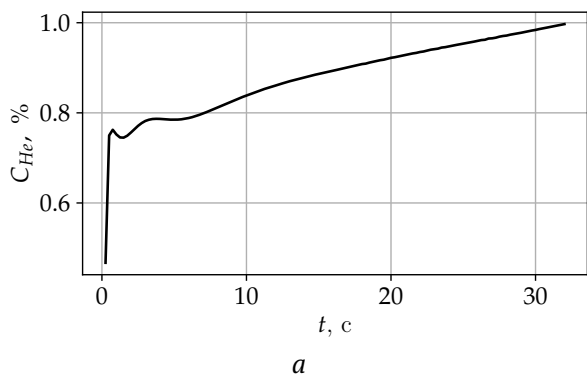


Рис. 2. Зависимость от времени мгновенной концентрации (а) и мгновенного массового потока гелия (б) на выходе из адсорбера

## Список литературы / References

- [1] Якутени ВП. Сырьевая база гелия в мире и перспективы развития гелиевой промышленности. *Нефтегазовая геология. Теория и практика*. 2009;4(2):1–24. Yakutseni VP. The raw material base of helium in the world and prospects for the development of the helium industry. *Oil and gas geology. Theory and practice*. 2009;4(2):1–24 (in Russian). EDN: knnunf
- [2] Зиновьев ВН, Казанин ИВ, Пак АЮ, Верещагин АС, Лебига ВА, Фомин ВМ. Проницаемость полых микросферических мембран по отношению к гелию. *Инженерно-физический журнал*. 2016;89(1):24–36. EDN: vhtdtf  
Zinoviev VN, Kazanin IV, Pak AYU, Vereshchagin AS, Lebiga VA, Fomin VM. Permeability of hollow microspherical membranes to helium. *Journal of Engineering Physics and Thermophysics*. 2016;89(1):25–37. DOI: 10.1007/s10891-016-1350-7
- [3] Баренблатт ГИ, Лобковский ЛИ, Нигматулин РИ. Математическая модель истечения газа из газонасыщенного льда и газогидратов. *Доклады Академии Наук*. 2016;470(4):458–461. DOI: 10.7868/s0869565216280148  
Barenblat GI, Lobkovsky LI, Nigmatulin RI. A mathematical model of gas outflow from gas-saturated ice and gas hydrates. *Doklady Earth Sciences*. 2016;470(2):1046–1049. DOI: 10.1134/S1028334X16100019
- [4] Нигматулин РИ. *Динамика многофазных сред. Часть 1*. М.: Наука; 1987. 464 с.  
Nigmatulin RI. *Dynamics of Multiphase Media. Vol. 1*. Hemisphere, N.Y.; 1990. 532 p.
- [5] Верещагин АС, Казанин ИВ, Зиновьев ВН, Фомин ВМ. Численное моделирование обогащения воздушно-гелиевой смеси бифункциональным сорбентом на основе стеклянных микросфер. *Прикладная механика и техническая физика*. 2022;63(5):3–19. DOI: 10.15372/PMTF20220501  
Vereshchagin AS, Kazanin IV, Zinoviev VN, Fomin VM. Numerical simulation of enrichment of the air-helium mixture with a bifunctional sorbent based on glass microspheres. *Journal of Applied Mechanics and Technical Physics*. 2022;63(5):731–745. DOI: 10.1134/S0021894422050017
- [6] Верещагин АС, Казанин ИВ, Зиновьев ВН, и др. Математическая модель проницаемости микросфер с учетом их дисперсионного распределения. *Прикладная механика и техническая физика*. 2013;54(2):88–96. EDN: rjzesb
- Vereshchagin AS, Kazanin IV, Zinoviev VN, et al. Mathematical model of permeability of microspheres with allowance for their size distribution. *Journal of Applied Mechanics and Technical Physics*. 2013;54(2):243–250. DOI: 10.1134/S0021894413020090
- [7] Верещагин АС, Фомин ВМ, Зиновьев ВН, Казанин ИВ, Пак АЮ, Лебига ВА. Исследование процесса поглощения гелия микросферами и композитным сорбентом на их основе. *Прикладная механика и техническая физика*. 2021;62(3):60–70. DOI: 10.15372/PMTF20210306  
Vereshchagin AS, Fomin VM, Zinoviev VN, Kazanin IV, Pak AYU, Lebiga VA. Investigation of helium adsorption by microspheres and composite sorbent on their basis. *Journal of Applied Mechanics and Technical Physics*. 2021;62(3):401–410. DOI: 10.1134/S0021894421030068
- [8] Верещагин АС, Зиновьев ВН, Казанин ИВ, Пак АЮ, Лебига ВА, Фомин ВМ. Модель адсорбции гелия и паров воды пористым композитным сорбентом на основе микросфер. *Доклады Академии Наук. Физика. Техн. науки*. 2020;490(1):18–23. DOI: 10.31857/S2686740020010216  
Vereshchagin AS, Zinoviev VN, Kazanin IV, Pak AYU, Lebiga VA, Fomin VM. Model of helium and water vapor adsorption by a microsphere-based porous composite sorbent. *Doklady Physics*. 2020;65(2):46–50. DOI: 10.1134/S1028335820020093
- [9] Голубев ИФ. *Вязкость газов и газовых смесей*. М.: Физматгиз. 1959. 375 с.  
Golubev I.F. *Viscosity of gases and gas mixtures*. M.: Fizmatgiz. 1959. 375 p (in Russian).
- [10] Wilke CR. A viscosity equation for gas mixtures. *Journal of Chemical Physics*. 1950;18(4):517–519. DOI: 10.1063/1.1747673
- [11] Barrer RM. *Diffusion in and through solids*. Reprint with corr. Cambridge: Univ. Press. 1951. 464 p.
- [12] Chi-Wang S. *Essentially Non-Oscillatory and Weighted Essentially Non-Oscillatory Schemes for Hyperbolic Conservation Laws: NASA/CR-97-206253*. ICASE Report No 97-65. Institute for Computer Applications in Science; Engineering NASA Langley Research Center. 1997. 80 p.
- [13] Фролов МВ, Верещагин АС, Казанин ИВ. Определение гелиевой проницаемости кремнезёмных микросфер. *Челябинский физико-математический журнал*. 2024;9(2):311–323.  
Frolov MV, Vereshchagin AS, Kazanin IV. Determination of helium permeability of silica microspheres. *Chelyabinsk Physics and Mathematics Journal*. 2024;9(2):311–323 (in Russian). DOI: 10.47475/2500-0101-2024-9-2-311-323

## Сведения об авторах / Information about the Authors

### Верещагин А.С.

доктор физ.-мат. наук, доцент  
Институт теоретической и прикладной механики  
им. С.А. Христиановича СО РАН

### Казанин И.В.

кандидат физ.-мат. наук  
Институт теоретической и прикладной механики  
им. С.А. Христиановича СО РАН

### Зиновьев И.В.

кандидат физ.-мат. наук  
Институт теоретической и прикладной механики  
им. С.А. Христиановича СО РАН

### Фомин В.М.

доктор физ.-мат. наук, профессор, академик РАН  
Институт теоретической и прикладной механики  
им. С.А. Христиановича СО РАН

### Vereshchagin A.S.

Sc.D. (Physics & Mathematics), Assist. Prof.  
Khristianovich Institute of Theoretical and Applied Mechanics  
SB RAS  
[vereshchag@itam.nsc.ru](mailto:vereshchag@itam.nsc.ru)  
ORCID: 0000-0002-9785-3872

### Kazanin I.V.

Ph.D. (Physics & Mathematics)  
Khristianovich Institute of Theoretical and Applied Mechanics  
SB RAS  
[kazanin@itam.nsc.ru](mailto:kazanin@itam.nsc.ru)  
ORCID: 0000-0002-6865-3142

### Zinoviev V.N.

Ph.D. (Physics & Mathematics)  
Khristianovich Institute of Theoretical and Applied Mechanics  
SB RAS  
[mehmat@sb-ras.ru](mailto:mehmat@sb-ras.ru)  
ORCID: 0000-0002-5373-8274

### Fomin V.M.

Sc.D. (Physics & Mathematics)  
Khristianovich Institute of Theoretical and Applied Mechanics  
SB RAS  
[mehmat@sb-ras.ru](mailto:mehmat@sb-ras.ru)  
ORCID: 0000-0002-2811-0143